

Глава IV

ПРОХОЖДЕНИЕ СВЕТА ЧЕРЕЗ ГРАНИЦУ РАЗДЕЛА ДВУХ ДИЭЛЕКТРИКОВ¹

§ 4.1. Формулы Френеля

1. В § 1.4 установлены законы отражения и преломления волн любой природы (в том числе и световых) на границе раздела двух изотропных непоглощающих сред. На основании формул (1.34), (1.35), и (3.2') закон преломления света можно записать в форме

$$\frac{\sin i}{\sin r} = \frac{n_2}{n_1} = n_{21}, \quad (4.1)$$

где

$$n_1 = c/v_1 = \sqrt{\epsilon_1} \text{ и } n_2 = c/v_2 = \sqrt{\epsilon_2} \quad (4.2)$$

— абсолютные показатели преломления первой и второй сред, ϵ_1 и ϵ_2 — их относительные диэлектрические проницаемости, v_1 и v_2 — фазовые скорости света в обеих средах, c — скорость света в вакууме, а n_{21} — относительный показатель преломления второй среды по отношению к первой. Соотношение (4.1) иногда называют законом Снеллиуса.

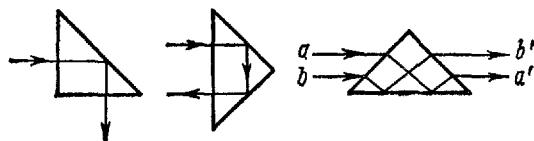


Рис. 4.1

Если $n_1 > n_2$, то говорят, что первая среда оптически более плотная, чем вторая. В этом случае угол преломления r больше угла падения i . Следовательно, существует такой угол падения $i_{\text{пп}}$, при котором $r=90^\circ$. Этот угол называется предельным или критическим и определяется из условия $\sin i_{\text{пп}} = \frac{n_2}{n_1}$. При $i \geq i_{\text{пп}}$ свет полностью отражается от второй среды. Такое явление называется полным внутренним отражением. Оно широко используется в оптике для изменения направления распространения света. На рис. 4.1 показано несколько типов призм полного внутреннего отражения (направления распространения света показаны стрелками).

2. Среда оптически однородна, если ее абсолютный показатель преломления $n(v) = \sqrt{\epsilon(v)}$ для света произвольной частоты v одинаков во всех точках этой среды. В противном случае среда называется оптически неоднородной. Для характеристики направлений распространения световой волны в различных точках среды пользуются понятием луча. Лучом называется линия, касательная в каждой точке которой совпадает с направлением вектора плотности потока энергии световой волны в этой точке.

¹ Предполагается, что диэлектрики не поглощают свет и оптически изотропы, т. е. их оптические свойства не зависят от направления распространения и характера поляризации световой волны.

В оптически однородной среде лучи прямолинейны. Если среда изотропна, то лучи нормальны к волновым поверхностям. В дальнейшем мы будем также употреблять слово «луч» (или «луч света») в несколько ином смысле, понимая под этим узкий пучок света, распространяющийся в определенном направлении.

3. Значительно более сложным является вопрос о соотношениях между амплитудами и фазами падающей, отраженной и преломленной волн на границе раздела. Эти соотношения для плоских монохроматических волн называют **формулами Френеля**. Они получаются из граничных условий для электромагнитного поля на поверхности раздела двух изотропных диэлектриков (см. т. II, § 21.4):

$$E_{1\tau} = E_{2\tau}; \quad \epsilon_1 E_{1n} = \epsilon_2 E_{2n}; \quad (4.3)$$

$$H_{1\tau} = H_{2\tau}; \quad \mu_1 H_{1n} = \mu_2 H_{2n}, \quad (4.4)$$

где ϵ_1 , μ_1 и ϵ_2 , μ_2 — относительные диэлектрические и магнитные проницаемости соответственно первой и второй сред; E_1 , H_1 и E_2 , H_2 — векторы напряженности полей в обеих средах; $E_{1\tau}$, $H_{1\tau}$ и E_{1n} , H_{1n} — проекции этих векторов соответственно на касательную плоскость и нормаль к границе раздела сред.

4. Всякую плоскую монохроматическую световую волну, как видно из уравнений (3.6), можно представить в виде совокупности двух плоских монохроматических волн той же частоты, в которых векторы \mathbf{E} колеблются вдоль двух взаимно перпендикулярных направлений. Поэтому для нахождения закономерностей отражения и преломления плоских волн на границе раздела двух сред достаточно рассмотреть порознь плоскую волну, в которой вектор \mathbf{E} колеблется в плоскости падения (*p*-волну), и плоскую волну, в которой вектор \mathbf{E} колеблется перпендикулярно плоскости падения (*s*-волну).

В дальнейшем предполагается, что обе среды полубесконечны, т. е. неограниченно простираются по обе стороны от границы раздела. Поэтому можно не учитывать многократного отражения и считать, что у границы раздела сходятся только три волны — падающая, отраженная и преломленная.

5. Рассмотрим сначала отражение и преломление *p*-волны. Обозначим векторы \mathbf{E} для падающей, отраженной и преломленной *p*-волн в точках поверхности раздела через \mathbf{E}_p^0 , \mathbf{E}_p^{opt} , \mathbf{E}_p^{pr} . Будем считать числовые значения этих векторов положительными, если их направления совпадают с теми, которые показаны на рис. 4.2, где векторы \mathbf{H}_p^0 , \mathbf{H}_p^{opt} , \mathbf{H}_p^{pr} направлены из-за чертежа к нам. При таком правиле выбора знаков колебания \mathbf{E}_p^{pr} и \mathbf{E}_p^0 совершаются в одной фазе, если их числовые значения совпадают по знаку. В этом проще всего убедиться на примере нормального падения света ($i=r=0$): векторы \mathbf{E}_p^0 и \mathbf{E}_p^{pr} совпадают по направлению. Наоборот, векторы \mathbf{E}_p^0

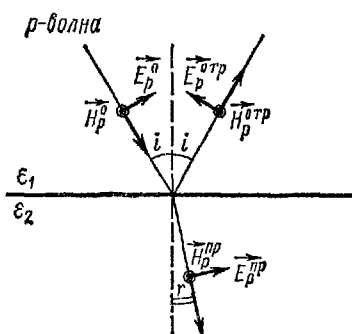


Рис. 4.2

и $\mathbf{E}_p^{\text{отр}}$ колеблются в одной фазе, если их числовые значения имеют противоположные знаки; колебания этих векторов сдвинуты по фазе на π , если их числовые значения имеют одинаковые знаки. В самом деле, во втором случае при нормальном падении света векторы \mathbf{E}_p^0 и $\mathbf{E}_p^{\text{отр}}$ противоположны по направлению.

Выведем формулы Френеля для p -волны. В первой среде распространяются две волны — падающая и отраженная, а во второй — только преломленная. Поэтому результирующие напряженности \mathbf{E}_1 и \mathbf{E}_2 в первой и второй средах вблизи границы разделя соответственно равны

$$\mathbf{E}_1 = \mathbf{E}_p^0 + \mathbf{E}_p^{\text{отр}} \quad \text{и} \quad \mathbf{E}_2 = \mathbf{E}_p^{\text{пр}}.$$

Проекции векторов \mathbf{E}_1 и \mathbf{E}_2 на касательную и нормаль (проведенную из первой среды во вторую):

$$\begin{aligned} E_{1\tau} &= E_p^0 \cos i - E_p^{\text{отр}} \cos i, & E_{2\tau} &= E_p^{\text{пр}} \cos r; \\ E_{1n} &= -E_p^0 \sin i - E_p^{\text{отр}} \sin i, & E_{2n} &= -E_p^{\text{пр}} \sin r, \end{aligned}$$

где i и r — углы падения и преломления.

Подставим эти значения в граничные условия (4.3):

$$\left. \begin{aligned} (E_p^0 - E_p^{\text{отр}}) \cos i &= E_p^{\text{пр}} \cos r, \\ \varepsilon_1 (E_p^0 + E_p^{\text{отр}}) \sin i &= \varepsilon_2 E_p^{\text{пр}} \sin r. \end{aligned} \right\} \quad (4.5)$$

Так как

$$\frac{\varepsilon_2}{\varepsilon_1} = \frac{n_2^2}{n_1^2} = n_{21}^2 = \left(\frac{\sin i}{\sin r} \right)^2,$$

то при $i \neq 0$ систему уравнений (4.5) преобразуем к виду

$$\left. \begin{aligned} E_p^{\text{отр}} \cos i + E_p^{\text{пр}} \cos r &= E_p^0 \cos i, \\ -E_p^{\text{отр}} \sin r + E_p^{\text{пр}} \sin i &= E_p^0 \sin r. \end{aligned} \right\} \quad (4.5')$$

Из этой системы находим $E_p^{\text{отр}}$ и $E_p^{\text{пр}}$:

$$\left. \begin{aligned} E_p^{\text{отр}} &= E_p^0 \frac{\sin i \cos i - \sin r \cos r}{\sin i \cos i + \sin r \cos r} = E_p^0 \frac{\operatorname{tg}(i-r)}{\operatorname{tg}(i+r)}, \\ E_p^{\text{пр}} &= E_p^0 \frac{2 \sin r \cos i}{\sin i \cos i + \sin r \cos r} = E_p^0 \frac{2 \sin r \cos i}{\sin(i+r) \cos(i-r)}. \end{aligned} \right\} \quad (4.6)$$

Соотношения (4.6) называют **формулами Френеля для p -волны**. Значения $E_p^{\text{отр}}(0)$ и $E_p^{\text{пр}}(0)$ для случая нормального падения света на границу раздела двух сред получим из уравнений (4.5), переходя в них к пределу при $i \rightarrow 0$:

$$\begin{aligned} E_p^0(0) - E_p^{\text{отр}}(0) &= E_p^{\text{пр}}(0), \\ E_p^0(0) + E_p^{\text{отр}}(0) &= n_{21} E_p^{\text{пр}}(0). \end{aligned}$$

Следовательно, при $i=r=0$

$$E_p^{\text{отр}}(0) = \frac{n_{21}-1}{n_{21}+1} E_p^0 \quad \text{и} \quad E_p^{\text{пр}}(0) = \frac{2}{n_{21}+1} E_p^0. \quad (4.6')$$

6. Рассмотрим теперь отражение и преломление s -волны. Будем считать, что числовые значения векторов \mathbf{E}_s^0 , $\mathbf{E}_s^{\text{отр}}$ и $\mathbf{E}_s^{\text{пр}}$ положительны, если эти векторы направлены в одну и ту же сторону по отношению

к плоскости падения (например, из-за чертежа, как показано на рис. 4.3). На этом же рисунке показаны соответствующие положительные направления магнитных векторов \mathbf{H}_s^0 , $\mathbf{H}_s^{\text{отр}}$ и $\mathbf{H}_s^{\text{пр}}$. Очевидно, что векторы $\mathbf{E}_s^{\text{отр}}$ и $\mathbf{E}_s^{\text{пр}}$ колеблются в одной фазе с \mathbf{E}_s^0 , если их числовые значения $E_s^{\text{отр}}$ и $E_s^{\text{пр}}$ имеют тот же знак, что и E_s^0 . Аналогично тому, как это было для p -волны,

$$\mathbf{E}_1 = \mathbf{E}_s^0 + \mathbf{E}_s^{\text{отр}} \text{ и } \mathbf{E}_2 = \mathbf{E}_s^{\text{пр}},$$

соответственно

$$\mathbf{H}_1 = \mathbf{H}_s^0 + \mathbf{H}_s^{\text{отр}} \text{ и } \mathbf{H}_2 = \mathbf{H}_s^{\text{пр}}.$$

Так как μ_1 и μ_2 практически равны единице, то на основании (3.5)

$$H_s^0 = \sqrt{\frac{\epsilon_1 \epsilon_0}{\mu_0}} E_s^0, \quad H_s^{\text{отр}} = \sqrt{\frac{\epsilon_1 \epsilon_0}{\mu_0}} E_s^{\text{отр}} \text{ и}$$

$$H_s^{\text{пр}} = \sqrt{\frac{\epsilon_2 \epsilon_0}{\mu_0}} E_s^{\text{пр}}.$$

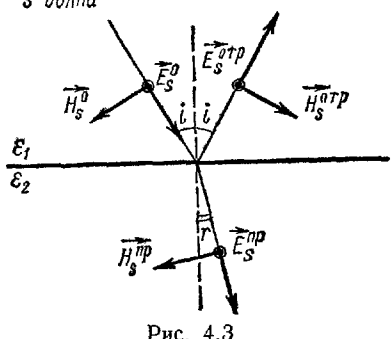


Рис. 4.3

Поэтому проекции \mathbf{H}_1 и \mathbf{H}_2 на касательную и нормаль (проведенную из первой среды во вторую) соответственно равны:

$$\begin{aligned} H_{1\tau} &= -H_s^0 \cos i + H_s^{\text{отр}} \cos i = \sqrt{\frac{\epsilon_1 \epsilon_0}{\mu_0}} (-E_s^0 + E_s^{\text{отр}}) \cos i, \\ H_{2\tau} &= -H_s^{\text{пр}} \cos r = -\sqrt{\frac{\epsilon_2 \epsilon_0}{\mu_0}} E_s^{\text{пр}} \cos r, \\ H_{1n} &= H_s^0 \sin i + H_s^{\text{отр}} \sin i = \sqrt{\frac{\epsilon_1 \epsilon_0}{\mu_0}} (E_s^0 + E_s^{\text{отр}}) \sin i, \\ H_{2n} &= H_s^{\text{пр}} \sin r = \sqrt{\frac{\epsilon_2 \epsilon_0}{\mu_0}} E_s^{\text{пр}} \sin r. \end{aligned}$$

Подставим эти значения в граничные условия (4.4), положив во втором из них $\mu_1 = \mu_2$:

$$\left. \begin{aligned} \sqrt{\epsilon_1} (-E_s^0 + E_s^{\text{отр}}) \cos i &= -\sqrt{\epsilon_2} E_s^{\text{пр}} \cos r, \\ \sqrt{\epsilon_1} (E_s^0 + E_s^{\text{отр}}) \sin i &= \sqrt{\epsilon_2} E_s^{\text{пр}} \sin r. \end{aligned} \right\} \quad (4.7)$$

Так как

$$\frac{\sqrt{\epsilon_2}}{\sqrt{\epsilon_1}} = n_{21} = \frac{\sin i}{\sin r},$$

то при $i \neq 0$ систему уравнений (4.7) преобразуем к виду

$$\left. \begin{aligned} (-E_s^0 + E_s^{\text{отр}}) \sin r \cos i &= -E_s^{\text{пр}} \sin i \cos r, \\ E_s^0 + E_s^{\text{отр}} &= E_s^{\text{пр}}. \end{aligned} \right\} \quad (4.7')$$

Из системы (4.7') можно найти $E_s^{\text{отр}}$ и $E_s^{\text{пр}}$:

$$\left. \begin{aligned} E_s^{\text{отр}} &= E_s^0 \frac{\sin r \cos i - \sin i \cos r}{\sin i \cos r + \sin r \cos i} = -E_s^0 \frac{\sin(i-r)}{\sin(i+r)}, \\ E_s^{\text{пр}} &= E_s^0 \frac{2 \sin r \cos i}{\sin i \cos r + \sin r \cos i} = E_s^0 \frac{2 \sin r \cos i}{\sin(i+r)}. \end{aligned} \right\} \quad (4.8)$$

Соотношения (4.8) называют формулами Френеля для s -волны. Значения $E_s^{\text{отр}}(0)$ и $E_s^{\text{пр}}(0)$ для случая $i=0$ (нормальное падение света)

найдем из уравнений (4.7), переходя в них к пределу при $i \rightarrow 0$:

$$\left. \begin{array}{l} -E_s^0(0) + E_s^{\text{отр}}(0) = -n_{21}E_s^{\text{пр}}(0), \\ E_s^0(0) + E_s^{\text{отр}}(0) = E_s^{\text{пр}}(0). \end{array} \right\}$$

Следовательно, при $i=r=0$

$$E_s^{\text{отр}}(0) = -\frac{n_{21}-1}{n_{21}+1} E_s^0(0) \quad \text{и} \quad E_s^{\text{пр}}(0) = \frac{2}{n_{21}+1} E_s^0(0). \quad (4.8')$$

§ 4.2. Закон Брюстера. Коэффициент отражения света

1. Из формул Френеля (4.6) и (4.8) можно найти фазовые соотношения между отраженной или преломленной и падающей волнами. Углы i и r всегда заключены в пределах от 0 до $\pi/2$. Поэтому при любых значениях i и r , как видно из (4.6) и (4.8), $E_p^{\text{пр}}$ и $E_s^{\text{пр}}$ совпадают по знаку соответственно с E_p^0 и E_s^0 , т. е. на границе раздела сред *фаза преломленной волны всегда совпадает с фазой падающей волны*.

Для отраженной p -волны $E_p^{\text{отр}}$ совпадает по знаку с E_p^0 , если $\operatorname{tg}(i+r)$ и $\operatorname{tg}(i-r)$ одновременно положительны или отрицательны. Это возможно в двух случаях:

- а) при $i > r$ ($n_{21} > 1$) и $i+r < \pi/2$;
- б) при $i < r$ ($n_{21} < 1$) и $i+r > \pi/2$.

Такое отражение p -волны сопровождается сдвигом по фазе на π . Отражение p -волны происходит без сдвига фаз в следующих двух случаях:

- в) при $i > r$ ($n_{21} > 1$) и $i+r > \pi/2$;
- г) при $i < r$ ($n_{21} < 1$) и $i+r < \pi/2$.

Для отраженной s -волны $E_s^{\text{отр}}$ и E_s^0 совпадают по знаку и отражение происходит без сдвига фаз, если $i < r$. При $i > r$ отражение s -волны сопровождается сдвигом по фазе на π .

2. Угол падения i_0 , при котором сумма углов падения и преломления равна $\pi/2$, называется *углом Брюстера*. Его можно найти из закона преломления света:

$$\frac{\sin i_0}{\sin(\pi/2-i_0)} = n_{21}, \quad \text{или} \quad \operatorname{tg} i_0 = n_{21}. \quad (4.9)$$

Если $i=i_0$, то направления распространения отраженной и преломленной плоских волн взаимно перпендикулярны. Очевидно, что $i+r <$

Таблица 4.1

$n_{21} > 1$	$n_{21} < 1$
$i < i_0 \quad i > i_0$	$i < i_0 \quad i > i_0$

p -Волна	π	0	0	π
s -Волна	π	π	0	0

$< \pi/2$ при $i < i_0$ и $i+r > \pi/2$ при $i > i_0$. Поэтому все полученные выше результаты относительно разности фаз отраженной и падающей волн можно свести в табл. 4.1.

3. В дальнейшем рассматривается отражение света при $i < i_0$. Поэтому в соответствии с табл. 4.1 мы должны считать, что независимо

¹ Для случая $i=0$ нужно пользоваться формулами (4.6') и (4.8').